

افزایش تولید بتا-کاروتون و گلیسروول در کشت سلولی *Dunaliella salina* توسط امواج فراصوت

رقیه مخبری ^۱M.Sc, آیت‌الله‌الدین کردناییج ^{۲*}Ph.D, علاءالدین

۱- دانشگاه پیام نور، دانشکده کشاورزی، گروه بیوتکنولوژی کشاورزی، تهران، ایران

۲- دانشگاه شاهد، دانشکده کشاورزی، گروه بیوتکنولوژی کشاورزی، تهران، ایران

* پست الکترونیک نویسنده مسئول: arezaei@shahed.ac.ir

تاریخ پذیرش: ۱۳۹۴/۲/۲۹

تاریخ دریافت: ۱۳۹۳/۱۱/۱۴

چکیده

هدف: هدف از این مطالعه بررسی اثر امواج فراصوت بر رشد و برخی شاخص‌های فیزیولوژیکی در کشت جلبک تک سلولی *Dunaliella salina* بود.

مواد و روش‌ها: امواج فراصوت با فرکانس ۴۰ کیلو هرتز و توان W/Cm³ ۵، به کشت‌های سلولی در روز چهاردهم واکشت در قالب طرح کاملاً تصادفی با ۳ تکرار اعمال شد. مدت زمان تابش امواج فراصوت به سلول‌ها ۰، ۵، ۱۰ و ۲۵ دقیقه بود. شاخص‌های مورد اندازه‌گیری عبارت بود از: رشد سلولی، پروتئین کل، رنگیزه‌های فتوسنتزی، پتانسیل آنتی‌اکسیدانتی، میزان پراکسیداسیون لیپیدهای غشایی، مقدار ترکیبات فنلی، فلاونوئیدها، آتسوپیانین‌ها، قندهای محلول، بتا-کاروتون و گلیسروول.

نتایج: نتایج نشان داد که با افزایش مدت زمان تابش امواج فراصوت رشد سلولی و مقدار رنگیزه‌های فتوسنتزی کاهش بافت. در مقابل مقدار پروتئین کل، پتانسیل آنتی‌اکسیدانتی، پراکسیداسیون لیپیدهای غشایی، ترکیبات فنلی، فلاونوئیدها، آتسوپیانین‌ها، بتا-کاروتون و گلیسروول افزایش یافت. بیشترین میزان بتا-کاروتون و گلیسروول به عنوان متابولیت‌های مهم در حالت تیمار ۱۰ دقیقه تابش امواج فراصوت به دست آمد که به ترتیب ۱۲/۳ و ۱۳/۵ میلی گرم در لیتر بود.

نتیجه‌گیری: به نظر می‌رسد امواج فراصوت با تحریک سلول‌ها و القای پاسخ‌های دفاعی و متابولیت ثانوی، باعث افزایش مقدار بتا-کاروتون و گلیسروول در سلول‌ها گردید.

واژگان کلیدی: *Dunaliella salina*، کشت سلولی، امواج فراصوت، بتا-کاروتون، گلیسروول

جمله این کاربردها می‌توان به تیمار بذرهای گیاهان برای کاهش فاصله رشدی، کاهش و حذف آفات و بیماری‌ها و استفاده از آن در مهندسی ئنتیک و انتقال ژن اشاره کرد.

جلبک سبز تک سلولی *Dunaliella salina* از تولیدکنندگان مهم در دریا و دریاچه‌های نمکی فوق اشباع است (۱۰ و ۱۱). از ترکیب‌های مهم درون سلولی این جلبک می‌توان به انواع کاروتونیدها، گلیسرول، پروتئین و ویتامین‌ها اشاره نمود. بخش عمده این ترکیب‌ها دارای خاصیت ضدآکسیدانتی و ضدسرطانی می‌باشند (۱۲ و ۱۳).

در زیست فناوری بر روش‌های تولیدی جایگزین برای افزایش محصولات طبیعی تمرکز زیادی وجود دارد. یکی از روش‌هایی که امروزه بیش از هر موضوع دیگر در زمینه بررسی متابولیت‌های اولیه و ثانوی سلول‌ها مورد توجه قرار دارد، روش کشت سلولی است. دست‌ورزی کشت‌های سلولی با الیسیتورها یکی از استراتژی‌های مهم جهت القای متابولیت‌های ارزشمند در بیوتکنولوژی است. در ارتباط با تاثیر عوامل فیزیکی از جمله امواج فراصلوت بر سلول‌های جلبک *D. salina* مطالعه‌ای تاکنون صورت نگرفته است. بنابراین در این تحقیق سعی بر آن است تا با تابش امواج فراصلوت بر سلول‌های این جلبک در محیط کشت تعییقی، مقدار رشد و تولید متابولیت‌ها از جمله بتا-کاروتون و گلیسرول مورد مطالعه قرار گیرد.

مواد و روش‌ها

شرایط کشت و رشد: مقدار ۱۰ میلی‌لیتر از سوسپانسیون سلولی در شرایط استریل به ۱۰۰ میلی‌لیتر از محیط کشت مایع ۷/۵ جانسون استریل، با غلظت نمک دو مولار NaCl و اسیدیته در ارلن مایری با حجم ۲۵۰ میلی‌لیتر افزوده شد به‌طوری که تعداد سلول‌ها در هر ارلن مایر تقریباً 300×10^3 در هر میلی‌لیتر از سوسپانسیون جلبکی بود. سوسپانسیون‌های تهیه شده جلبکی در انکوباتور در دمای ۲۵ درجه سانتی‌گراد و به‌مدت ۱۶ ساعت روشنایی و ۸ ساعت تاریکی بر روی شیکر با سرعت ۹۰ دور در دقیقه تحت تابش نور فلورسنت با شدت ۲۵۰۰ لوکس قرار گرفتند. بعد از گذشت ۲ هفت‌هه که کشت‌های جلبکی در اواسط مرحله خطی دوره رشد خود قرار گرفتند، تیمار فراصلوت اعمال شد.

مقدمه

امروزه متابولیت‌های به دست آمده از سلول‌های جلبکی و گیاهی منبع ترکیبات مهم دارویی، بهداشتی، طعم دهنده‌های طبیعی، عطرها و رنگ‌ها می‌باشند. استفاده از کشت سلولی در تولید متابولیت‌های سلولی با خصوصیات اقتصادی از طریق کشت سلولی در شرایط آزمایشگاهی، فواید زیادی در مقایسه با استخراج این ترکیبات تحت شرایط طبیعی دارد. کنترل دقیق شاخص‌های مختلف، سبب می‌شود که کیفیت مواد حاصل در طول زمان تغییر نکند، در حالی که در شرایط طبیعی مرتب تحت تاثیر شرایط آب و هوایی و آفات و بیماری‌ها قرار دارد (۱).

الای تولید و تجمع متابولیت‌های ثانوی در سلول‌ها بخشی از پاسخ‌های دفاعی می‌باشد که توسط الیسیتورها یا محرک‌ها صورت می‌گیرد. از این‌رو تیمار سلول‌های جلبکی و گیاهی با چنین عواملی یکی از روش‌های سودمند برای افزایش تولید متابولیت‌ها در کشت سلولی می‌باشد (۱). اخیراً مطالعات پراکنده ای روی اثرات زیستی امواج فراصلوت در کشت سلول گیاهی صورت گرفته اما در خصوص اثرات تحریک کنندگی آن در تولید متابولیت‌ها در سلول‌های جلبکی اطلاعات چندانی وجود ندارد. افزایش بیوسنتر متابولیت‌های ثانویه در سلول‌های گیاهی توسط امواج فراصلوت با انرژی کم، گزارش شده است (۲ و ۴) و مشخص شده است که این افزایش در بیوسنتر متابولیت ثانوی بیشتر ناشی از الای فعالیت فیزیولوژیک سلول‌ها توسط فراصلوت می‌باشد. به‌همین دلیل امواج فراصلوت با شدت و انرژی کم به‌عنوان الیسیتور فیزیکی یا غیر زیستی مدنظر قرار می‌گیرد.

مطالعات نشان داده است که فراصلوت با شدت زیاد برای ترکیبات زیستی مخرب بوده و غشای سلول‌ها را تخریب کرده و مولکول‌های زیستی نظری آنزیم‌ها و DNA را غیر فعال می‌سازد (۵). از طرف دیگر نشان داده است که فراصلوت با شدت و انرژی کم، طیف وسیعی از اثرات زیستی غیر کشنده داشته که از اهمیت بالقوه‌ای در بیوتکنولوژی برخوردار است. یکی از گستره‌های زیستی نظری آنزیم‌ها در تابش نور فردا از زندگی افزایش در ترین اثرات غیر مخرب فردا از زندگی افزایش در نفوذ پذیری غشا است که جذب ترکیبات خارجی و دفع فراوردهای درون‌سلولی را توسط سلول‌ها افزایش می‌دهد. گزارش‌هایی مبنی بر تغییر در بیان ژن، افزایش فعالیت آنزیم‌ها و هورمون‌های خاص توسط تابش امواج فردا از زندگی وجود دارد (۶، ۷، ۸ و ۹). امواج فردا از زندگی افزایش کاربردهای فراوانی در کشاورزی دارد و از

ترکیبات فنلی: پنج میلی لیتر از سوسپانسیون جلبکی سانتریفیوژ شد. پس از اتمام سانتریفیوژ مایع رویی در ظرف جدالگانه برای اندازه گیری میزان ترکیبات فنلی خارج سلولی Folin-cicolteu نگه داری شد. مقدار ۱/۲۵ میلی لیتر از معرف Reقيق شده (۱/۱۰) و ۱ میلی لیتر کربنات سدیم ۷ درصد به رسوب سلولی و ۰/۵ میلی لیتر از مایع رویی نمونه ها اضافه شد. نمونه ها به مدت نیم ساعت در حرارت ۴۵ درجه سانتی گراد قرار داده شد. بعد نمونه ها به مدت ۵ دقیقه با سرعت ۵۰۰۰ دور در دقیقه سانتریفیوژ شدند. در انتهای میزان جذب مایع رویی در طول موج ۷۶۵ نانومتر توسط دستگاه اسپکتروفوتومتر (PerkinElmer, Lambda 650) خوانده شد و مقدار کل ترکیبات فنلی با استفاده از استاندارد اسید سالیسیک تعیین شد.

پروتئین: مقدار پروتئین به روش برادفورد (۱۶) اندازه گیری گردید. برای تعیین غلظت پروتئین های سلول جلبک، ۱ میلی لیتر از کشت سلولی نمونه برداری شد. نمونه ها به مدت ۱۰ دقیقه با سرعت ۱۲ هزار دور در دقیقه سانتریفیوژ شدند. به رسوب سلولی بافر فسفات سدیم ۱۰۰ میلی مولار (pH=۶/۸) اضافه شد. برای متلاشی شدن سلول های جلبک و تسهیل در خروج پروتئین های داخل سلول ها، سوسپانسیون های سلولی به مدت ۱۵ دقیقه در معرض امواج فرماصوت با فرکانس ۴۰ کیلوهرتز قرار داده شد. پس از انجام سانتریفیوژ به مدت ۱۰ دقیقه با سرعت ۱۲ هزار دور در دقیقه، ۱۰۰ میکرولیتر از محلول رویی برداشته شد و به آن ۱ میلی لیتر محلول برادفورد اضافه شد. مقدار جذب نمونه ها در طول موج ۵۹۵ نانومتر توسط دستگاه اسپکتروفوتومتر (PerkinElmer, Lambda 650) قرائت شد و در انتهای با استفاده از نمودار استاندارد آلبومین سرم گاوی غلظت پروتئین نمونه ها به دست آمد.

فلاؤنوتئید کل: برای سنجش فلاؤنوتئیدها ابتدا ۱/۵ میلی لیتر از سوسپانسیون جلبکی با سرعت ۶۰۰۰ هزار دور در دقیقه به مدت ۵ دقیقه سانتریفیوژ شد و سپس مایع رویی دور ریخته شد. به سلول های باقی مانده به نسبت ۹۹ به ۱ اتانول و اسید کلریدریک اضافه گردید. نمونه ها به مدت نیم ساعت در معرض امواج فرماصوت با فرکانس ۴۰ کیلوهرتز قرار گرفته شد. سپس نمونه ها به مدت ۱۰ دقیقه در حمام آب گرم با دمای ۸۰ درجه سانتی گراد قرار داده شدند. پس از خنک شدن، نمونه ها به مدت ۵ دقیقه با سرعت ۶۰۰۰ دور در دقیقه سانتریفیوژ شدند. میزان

تیمار سلول ها با امواج فرماصوت: برای به کار گیری امواج فرماصوت در دامنه های کیلوهرتز پایین، از یک سیستم حمام اولتراسونیک (FALC Instruments, Italy) با فرکانس ۴۰ کیلو هرتز و پهنای باند ۳۲۰ هرتز به صورت پیوسته مطابق روش Rezae و همکاران (۱۴) استفاده گردید. امواج فرماصوت با فرکانس ۴۰ کیلو هرتز و توان W/cm³ ۵، در مدت زمان های ۰، ۰/۵، ۰/۱۰ و ۰/۲۵ دقیقه در روز چهاردهم واکشت سلول ها به کشت های سلولی در قالب طرح کاملاً تصادفی و در سه تکرار اعمال شد. سطح آب در داخل حمام اولتراسونیک حدوداً یک سانتی متر بالاتر از سطح محیط کشت درون ارلن ها بود. کشت های سلولی به مدت دو هفته در انکوباتور در دمای ۲۵±۰/۵ درجه سانتی گراد و به مدت ۱۶ ساعت روشنایی و ۸ ساعت تاریکی بر روی شیکر با سرعت ۹۰ دور در دقیقه تحت تابش نور فلورستن باشد ۲۵۰۰ لوکس قرار گرفتند.

اندازه گیری رشد و شاخص های بیوشیمیایی رشد: توسط سمپلر از هر نمونه جلبکی مقدار کمی برداشته شد و روی لام مخصوص شمارش (لام نئوار) ریخته شد و زیر میکروسکوب با بزرگنمایی ۱۰ سلول ها شمارش شد. تعداد سلول های موجود در ۱۰ مربع از این لام شمارش شده و میانگین آن ثبت گردید. از آنجایی که سلول ها متحرک بودند سلول های موجود در نمونه قبل از تابش نور بطور یکدیگر شدند.

کلروفیل و کاروتونوئید کل: مقدار کلروفیل a و b، کلروفیل کل (a+b) و کاروتونوئیدها با استفاده از روش اسپکتروفوتومتری اندازه گیری شد. ۵ میلی لیتر از سوسپانسیون جلبکی به مدت ۱۰ دقیقه با سرعت ۵۰۰۰ دور در دقیقه سانتریفیوژ شد و محلول رویی دور ریخته شد. بر روی رسوب سلولی باقی مانده ۵ میلی لیتر استون ۸۵ درصد ریخته شد و بعد از همزدن در تاریکی به مدت ۵ دقیقه قرار داده شد. مخلوط حاصل مجدداً به مدت ۱۰ دقیقه با دور ۵۰۰۰ دور در دقیقه سانتریفیوژ شد. میزان جذب نور محلول رویی در طول موج های ۶۶۳ و ۶۴۴ و ۴۵۲ نانومتر به کمک اسپکتروفوتومتر (PerkinElmer, Lambda 650) خوانده شد. به کمک رابطه های زیر میزان کلروفیل a و b و کاروتونوئید بر حسب میلی گرم در میلی لیتر به دست آمد (۱۵).

$$C_{chl.a} = 10.3 \times E633 - 0.918 \times E644$$

$$C_{chl.b} = 19.7 \times E644 - 3.87 \times E633$$

$$C_{car} = 4.20 \times E452.5 - 0.0264 \times C_{chl.a} - 0.496 \times C_{chl.b}$$

سانتریفیوژ شدند. پس از اتمام سانتریفیوژ، ۱ میلی لیتر از هر کدام از نمونه‌ها برداشته شده و به آن‌ها ۱ میلی لیتر تیوباربیتوريک اسید ۰/۲۵ درصد اضافه شد و سپس به مدت نیم ساعت نمونه‌ها در دمای ۱۰۰ درجه‌سانی گراد قرار داده شدند. پس از سرد شدن نمونه‌ها، در طول موج‌های ۵۳۲ و ۶۰۰ نانومتر مقدار جذب توسط اسپکتروفوتومتر (PerkinElmer, Lambda 650) اندازه‌گیری گردید و مقدار MDA به کمک ضریب خاموشی 155 mM/cm محاسبه گردید (۲۰).

پتانسیل آنتی‌اکسیدانتی: دو میلی لیتر از سوسپانسیون‌های سلولی به مدت ۱۰ دقیقه با سرعت ۱۲ هزار دور در دقیقه سانتریفیوژ شدند. به رسوب سلولی ۲ میلی لیتر اتانول اضافه شد. نمونه‌ها به مدت نیم ساعت در معرض امواج فرراصوت با فرکانس DPPH ۴۰ کیلوهرتز قرار گرفته شد. به نمونه‌ها ۰/۸ میلی لیتر ۰/۳ میلی مولار اضافه شد. بعد از گذشت نیم ساعت و انجام واکنش میزان پتانسیل آنتی‌اکسیدانتی سلول‌ها در طوح موج ۵۱۷ نانومتر توسط دستگاه اسپکتروفوتومتر (PerkinElmer, Lambda 650) خوانده شد.

درصد فعالیت آنتی‌اکسیدانتی طبق فرمول زیر محاسبه شد:

$$\text{AA\%} = 100 - \left[\frac{A_{450} - A_{450,\text{کنترل}} \times 100}{A_{450,\text{کنترل}}} \right]$$

محلول بلانک: ۰/۸ میلی لیتر اتانول + ۲ میلی لیتر از نمونه و محلول کنترل: ۰/۸ میلی لیتر DPPH + ۲ میلی لیتر اتانول. A جذب نور

بتا-کاروتون: از سوسپانسیون سلولی هر کدام از نمونه‌های جلبک ۱ میلی لیتر به مدت ۱۰ دقیقه با سرعت ۵۰۰۰ دور در دقیقه سانتریفیوژ شد. محلول رویی دور ریخته شد و به نسبت ۲ به ۱ هگزان و اتانول به رسوب باقی مانده اضافه شد. به مدت ۱ دقیقه نمونه‌ها با ورتکس شدیداً همزدہ شدند و سپس مجدداً به مدت ۱۰ دقیقه با سرعت ۵۰۰۰ دور در دقیقه نمونه‌ها سانتریفیوژ گردید. با جدا کردن فاز رویی (هگزان) و خواندن جذب در ۴۵۰ نانومتر توسط دستگاه اسپکتروفوتومتر (PerkinElmer, Lambda 650) میزان بتا-کاروتون سلول‌ها از طریق فرمول زیر به دست آمد.

$$\beta\text{-Carotene (\mu g/ml)} = 25.2 \times A_{450}$$

جذب نمونه‌ها توسط اسپکتروفوتومتر (PerkinElmer, Lambda 650) در سه طول موج ۲۷۰، ۳۰۰ و ۳۳۰ نانومتر خوانده شد و مقدار فلاونوئید کل با استفاده از منحنی استاندارد آپیئنین محاسبه شد (۱۷).

قندهای محلول: یک میلی لیتر از سوسپانسیون‌های جلبکی با سرعت ۵۰۰۰ دور در دقیقه سانتریفیوژ شدند. مایع رویی دور ریخته شد و به سلول‌های جلبکی باقی مانده ۰/۵ میلی لیتر فنل ۵ درصد و ۲/۵ میلی لیتر اسیدسولفوریک ۹۸ درصد اضافه گردید. نمونه‌ها به مدت نیم ساعت در معرض امواج فرراصوت با فرکانس ۴۰ کیلوهرتز قرار گرفته شد. منحنی استاندارد با استفاده از غلظت‌های مختلف گلوكز ترسیم گردید. جذب نوری نمونه‌ها و استانداردها با استفاده از دستگاه اسپکتروفوتومتر (PerkinElmer, Lambda 650) در طول موج ۴۹۰ نانومتر اندازه‌گیری شد (۱۸).

آنتوسبیانین کل: ۳ میلی لیتر از سوسپانسیون‌های سلولی به مدت ۵ دقیقه با سرعت ۵۰۰۰ دور در دقیقه سانتریفیوژ شدند. مایع رویی دور ریخته شد و ۳ میلی لیتر متانول اسیدی (شامل متانول و اسید کلریدریک به نسبت ۹۹ به ۱) به آن اضافه شد. نمونه‌ها به مدت نیم ساعت در معرض امواج فرراصوت با فرکانس ۴۰ کیلوهرتز قرار گرفته شد. سپس نمونه‌ها به مدت ۱۵ دقیقه با سرعت ۱۲ هزار دور در دقیقه سانتریفیوژ شدند. مایع رویی نمونه‌ها برداشته شد و نمونه‌ها به مدت یک شب در تاریکی قرار داده شدند و در انتهای جذب آن‌ها در طول موج ۵۵۰ نانومتر با دستگاه اسپکتروفوتومتر (PerkinElmer, Lambda 650) خوانده شد. برای محاسبه غلظت آنتوسبیانین، از ضریب خاموشی ۳۳۰۰ Cm-1M-1 استفاده شد (۱۹).

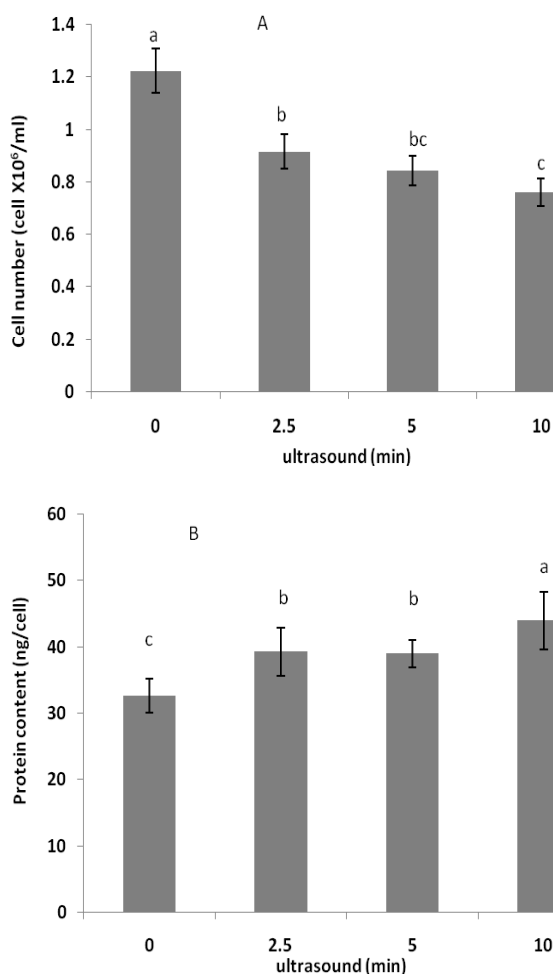
تعیین سطح پراکسیداسیون لیپیدهای غشایی: مقدار آسیب به غشاها با اندازه‌گیری مقدار مالونیل دی آلوئید (MDA) به عنوان فرآورده نهایی پراکسیداسیون لیپیدهای غشا تعیین شد. پنج میلی لیتر از سوسپانسیون جلبکی به مدت ۵ دقیقه با سرعت ۵۰۰۰ هزار دور در دقیقه سانتریفیوژ شد. محلول رویی دور ریخته شد و به نمونه‌ها ۳ میلی لیتر تری کلرواستیک اسید ۱۰ درصد اضافه شد. پس از همزدن نمونه‌ها آن‌ها به مدت نیم ساعت در معرض امواج فرراصوت با قدرت ۱۰۰ و فرکانس ۴۰ کیلوهرتز قرار گرفتند. سپس نمونه‌ها به مدت ۱۵ دقیقه با ۱۲۰۰ rpm

نتایج

رشد سلولی و محتوی پروتئین

طبق نتایج به دست آمده میزان رشد سلول‌ها با افزایش زمان تابش امواج فرا صوت تا زمان ده دقیقه نسبت به گروه شاهد تفاوت معنی‌داری داشت، به طوری که با افزایش زمان تابش تا زمان ده دقیقه از میزان رشد سلول‌ها کاسته شد و کمترین رشد سلولی در زمان ۱۰ دقیقه تابش امواج فراصوت مشاهده شد. در خصوص مقدار پروتئین محلول نیز با افزایش زمان تابش امواج فراصوت تا زمان ۱۰ دقیقه، افزایش معنی‌داری نسبت به گروه شاهد مشاهده شد. به طوری که بیشترین میزان پروتئین محلول مربوط به تیمار ۱۰ دقیقه تابش امواج فراصوت بود (شکل ۱).

گلیسرول: پنج میلی‌لیتر از نمونه جلبکی به مدت ۵ دقیقه با سرعت ۵۰۰۰ دور در دقیقه سانتریفیوژ شد. مایع رویی پس از سانتریفیوژ دور ریخته شد، به این ترتیب گلیسرولی که از قبل درون نمونه بوده خارج گردید. به سلول‌های باقی مانده به میزان ۲ میلی‌لیتر از محیط کشت جانسون اضافه شد. چند ثانیه نمونه‌ها به آرامی تکان داده شد، سپس میزان ۲۰۰ میکرولیتر نمونه جلبکی جدا و به آن ۱ میلی‌لیتر پریوپات و ۲/۵ میلی‌لیتر استیل استن افزوده گردید و به آرامی تکان داده شد. سپس به مدت ۲۰ دقیقه در دمای ۴۵ درجه سانتی‌گراد قرار داده شدند. نمونه‌ها مجدداً به مدت ۵ دقیقه با سرعت ۵۰۰۰ هزار دور در دقیقه سانتریفیوژ شدند. پس از آن میزان جذب نور مایع رویی در طول موج ۴۱۰ نانومتر توسط دستگاه اسپکتروفتومتر (PerkinElmer, Lambda 650) خوانده شد و به وسیله رسم منحنی استاندارد غلظت گلیسرول محاسبه شد (۲۱).

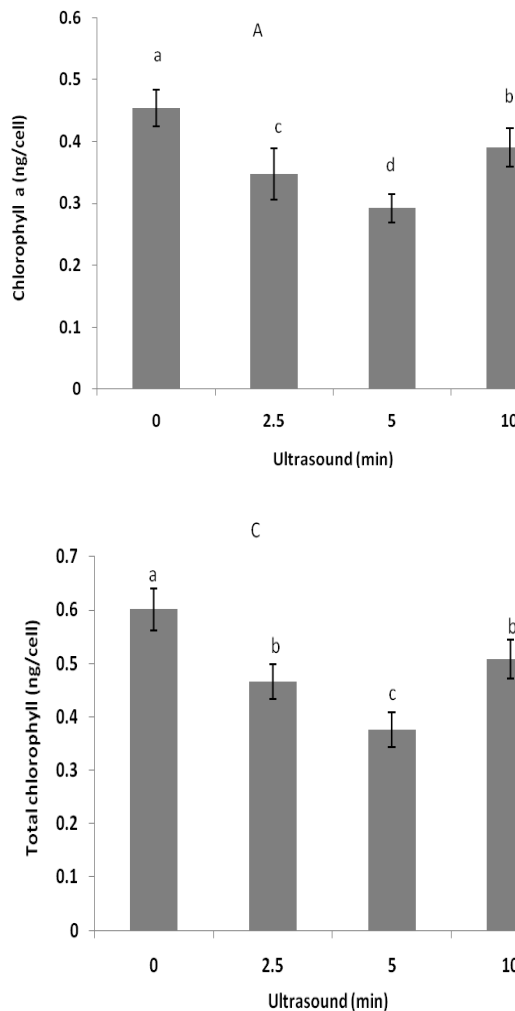


شکل ۱: تغییرات میزان رشد (A) و میزان پروتئین (B) تحت اثر امواج فراصوت در کشت سلولی جلبک *D. salina* (مقادیر نشان داده شده میانگین $3 \pm SD$ (انحراف معیار) می‌باشد. حروف متفاوت نشان دهنده معنی‌دار بودن تفاوت‌ها در سطح $P \leq 0.01$ است).

افرایش مشاهده گردید و بیشترین آن در زمان ده دقیقه تابش اندازه‌گیری شد (شکل ۳).

تولید آنتوسیانین‌ها و پتانسیل آنتی/اکسیدانتی

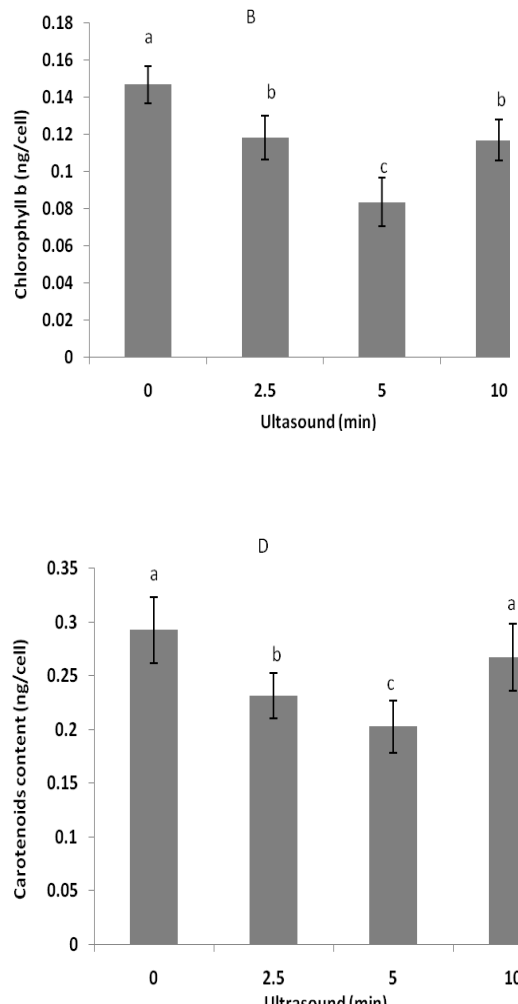
تیمار امواج فراصوت باعث القای تولید ترکیبات آنتوسیانینی در کشت‌های سلولی شد. به طوری که با گذشت زمان به تدریج بر میزان تولید آن‌ها به صورت معنی‌دار نسبت به گروه شاهد افزوده شد. بیشترین مقدار این ترکیبات در زمان ده دقیقه تابش امواج فراصوت اندازه‌گیری شد. در تحقیق حاضر درصد پتانسیل آنتی-اکسیدانتی با افزایش زمان تابش امواج فراصوت به عنوان یک الیستیور و محرك سلول‌ها افزایش یافت. بیشترین پتانسیل آنتی-اکسیدانتی نیز در مدت زمان تابش ده دقیقه امواج مشاهده شد (شکل ۴).



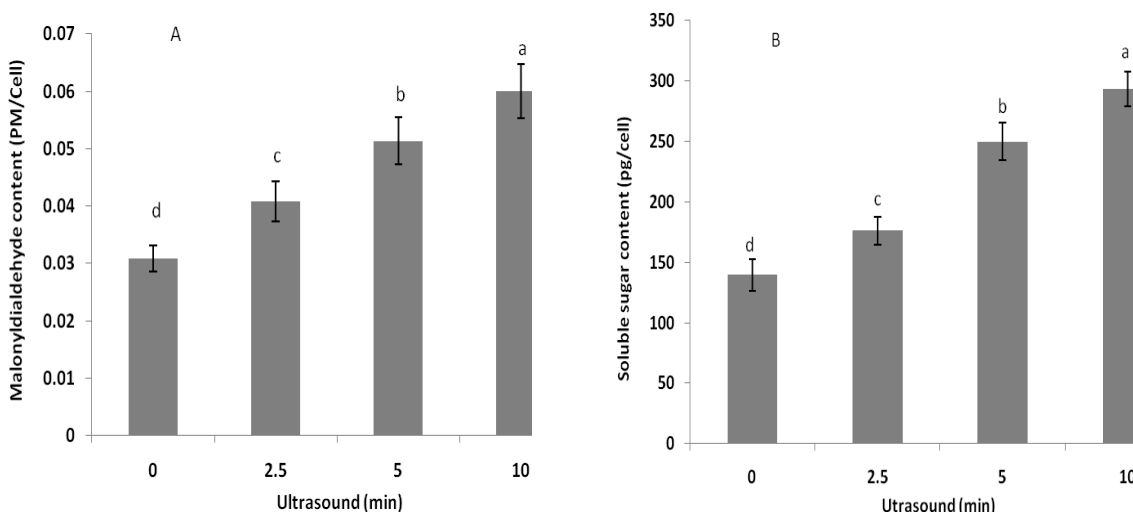
رنگیزه‌های فتوسنترزی در تحقیق انجام شده افزایش زمان تابش امواج فراصوت باعث کاهش میزان کلروفیل a، کلروفیل b و کلروفیل کل و همچنین تاحدودی کاروتنوئیدها شده، به این صورت که میزان کاروتنوئیدها تا زمان پنج دقیقه تابش فراصوت کاهش داشت و با افزایش زمان تابش امواج فراصوت تا زمان ۱۰ دقیقه میزان کاروتنوئید افزایش یافت (شکل ۲).

قندهای محلول و پراکسیداسیون لیپیدها

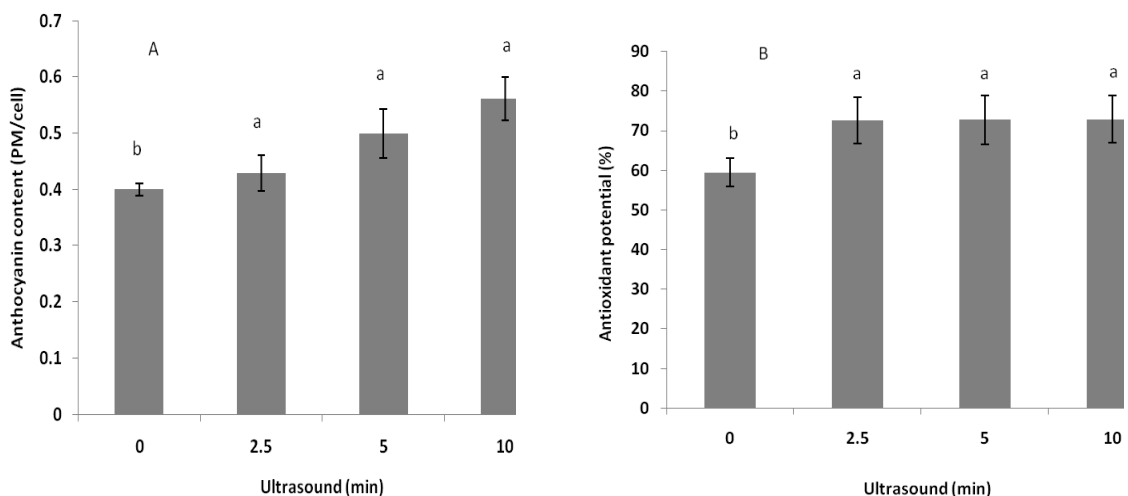
در این آزمایش با افزایش زمان تابش امواج فراصوت تا زمان ۱۰ دقیقه مقدار قندهای محلول نسبت به گروه شاهد دارای اختلاف معنی‌دار بود و افزایش داشت (شکل ۳) در خصوص میزان پراکسیداسیون لیپیدها نیز با افزایش مدت زمان تابش امواج روند



شکل ۲: تغییر در میزان کلروفیل a (A)، کلروفیل b (B)، کلروفیل کل (C) و کاروتنوئیدها (D) تحت اثر امواج فراصوت در کشت سلولی *D. salina* جلبک (مقادیر نشان داده شده میانگین ۳ تکرار \pm SD (انحراف معیار) می‌باشد. حروف متفاوت نشان دهنده معنی‌دار بودن تفاوت‌ها در سطح $P \leq 0.05$.



شکل ۳: تغییر در میزان پراکسیداسیون لیپیدهای غشایی (A) و فندهای محلول (B) تحت اثر امواج فراصوت در کشت سلولی جلبک *D. salina* (مقادیر نشان داده شده میانگین ۳ تکرار $\pm SD$ (انحراف معیار) می‌باشد. حروف متفاوت نشان دهنده معنی‌دار بودن تفاوت‌ها در سطح $P \leq 0.01$ است).



شکل ۴: تغییر در میزان آنتوکسیانین‌ها (A) و پیانسیل آنتی‌اکسیدانی (B) تحت اثر امواج فراصوت در کشت سلولی جلبک *D. salina* (مقادیر نشان داده شده میانگین ۳ تکرار $\pm SD$ (انحراف معیار) می‌باشد. حروف متفاوت نشان دهنده معنی‌دار بودن تفاوت‌ها در سطح $P \leq 0.01$ است).

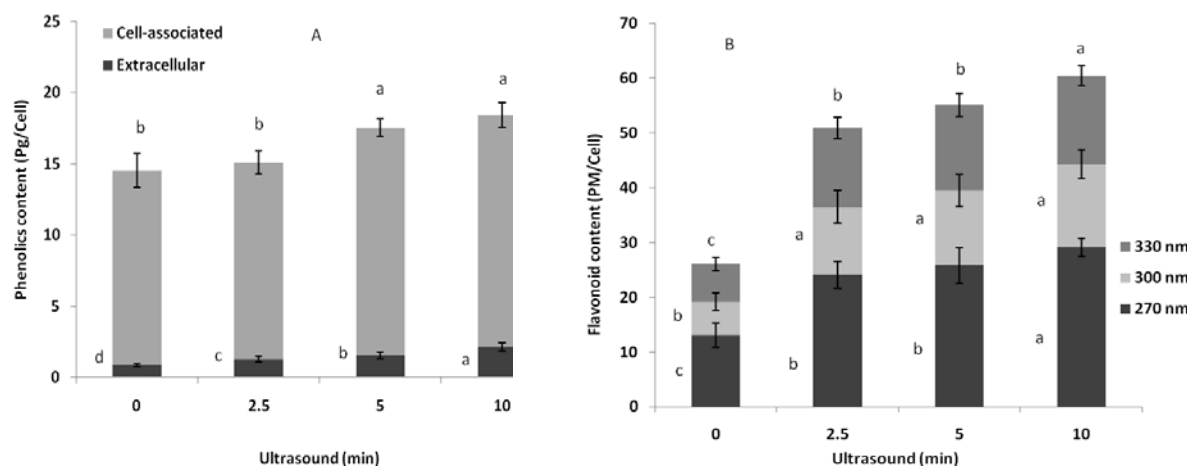
مقدار تولید این ترکیبات در زمان ده دقیقه تابش امواج بود (شکل ۵).

تولید گلیسرول و بتا-کاروتون

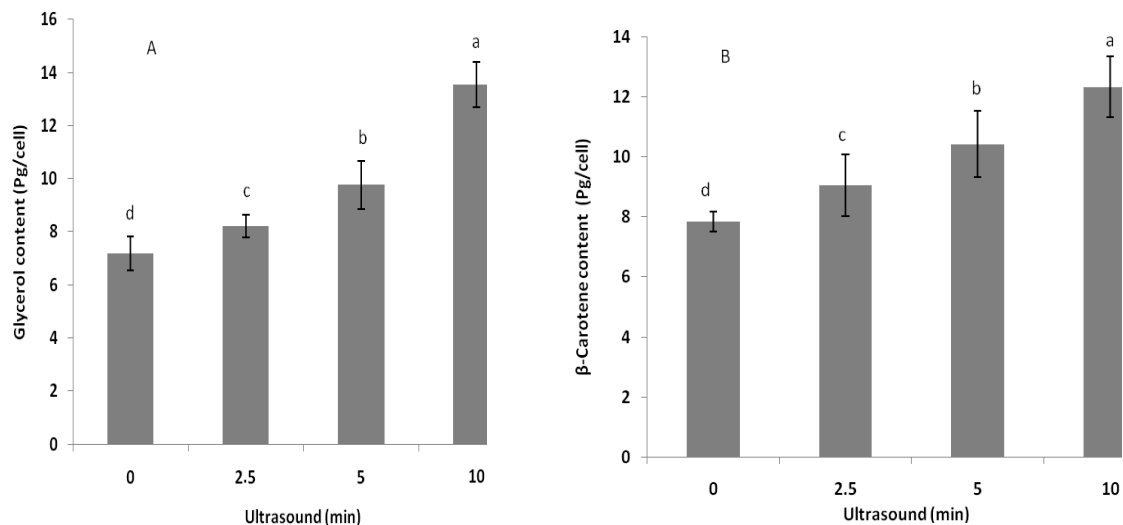
در این تحقیق مشاهده شد که با افزایش مدت زمان تابش امواج فراصوت تا زمان ده دقیقه، میزان گلیسرول و بتا-کاروتون اندازه-گیری شده سلول‌های جلبک نسبت به کشت‌های شاهد افزایش معنی‌داری داشت که بیشترین مقادیر آن‌ها به ترتیب $12/3$ و $13/5$ میلی‌گرم در لیتر بود که در مدت زمان تابش ده دقیقه اندازه-گیری شد (شکل ۶).

تولید ترکیبات فنلی و فلاونوئیدی

تیمار امواج فراصوت باعث القای تولید ترکیبات فنلی و فلاونوئیدی در کشت‌های سلولی گردید. به طوری که با گذشت زمان به تدریج بر میزان تولید آن‌ها به صورت معنی‌دار نسبت به گروه شاهد افزوده شد. هر دو نوع ترکیبات فنلی با افزایش مدت زمان تابش امواج با یک روند صعودی و معنی‌دار نسبت به کنترل افزایش نشان دادند. البته بیشتر ترکیبات فنلی تولید شده از نوع درون سلولی بود. در خصوص فلاونوئیدها نیز در هر سه طول موج اندازه-گیری شده، افزایش معنی‌دار نسبت به کشت‌های کنترل در کلیه مدت زمان‌های تابش مشاهده شد. بیشترین



شکل ۵: تغییر در میزان ترکیبات فنلی (A) و فلاونوئیدی (B) تحت اثر امواج فرماصوت در کشت سلولی جلبک *D. salina* (مقادیر نشان داده شده میانگین ۳ تکرار $\pm SD$ (انحراف معیار) می‌باشد. حروف متفاوت نشان دهنده معنی‌دار بودن تفاوت‌ها در سطح $1\% \leq P/\text{ست}$).



شکل ۶: تغییر در میزان گلیسرول (A) و بتا-کاروتون (B) تحت اثر امواج فرماصوت در کشت سلولی جلبک *D. salina* (مقادیر نشان داده شده میانگین ۳ تکرار $\pm SD$ (انحراف معیار) می‌باشد. حروف متفاوت نشان دهنده معنی‌دار بودن تفاوت‌ها در سطح $1\% \leq P/\text{ست}$).

خصوص کشت‌های تعییقی سبب ایجاد وقایع هیدروبدینامیکی پر انرژی نظیر حفره‌زایی آکوستیک و جریانات میکروسکوپی می‌شود که باعث آسیب‌های مکانیکی و تنفس برشی به سلول‌ها می‌شود (۲۳). بنابراین احتمال وجود تنفس‌های مکانیکی در اثر امواج فرماصوت وجود داشته که رشد سلول‌ها را تحت تاثیر قرار می‌دهد. نتایج نشان داد که با گذشت زمان و تحت اثر تیمار تا حدودی تولید پروتئین سلولی القا گردید. در خصوص اثرات بیوسنتزی امواج فرماصوت در سلول گزارشاتی وجود دارد. مشاهده شده است که این امواج با شدت پائین، بیوسنتز پروتئین‌ها را در سلول‌ها و پروتوبلاست‌های چندنفره افزایش داد (۲۴).

بحث

در ارتباط با اثر امواج فرماصوت بر سلول گزارش شده است که افزایش مدت زمان تیمار امواج فرماصوت با کاهش رشد و زنده مانی در سلول‌های گیاهی همراه بود (۲۲). Wang و همکاران (۳) نیز مشاهده نمودند که تابش امواج فرماصوت به سلول‌های سرخدار (*Taxus yunnanensis*) منجر به کاهش محسوس درصد زنده بودن سلولی شد. از طرفی تابش کوتاه‌مدت فرماصوت اثر معنی‌داری روی تولید ذیتووده در کشت سلولی سرخدار (*Taxus chinensis*) نداشت (۲۳). به کارگیری فرماصوت در

نهایی این اکسیداسیون نشان دهنده تخریب و افزایش نفوذپذیری غشای سلول‌ها است (۳۰). آنزیم پراکسیداز به عنوان گیرنده و جمع گننده پراکسیدها عمل کرده و از اثرات مخرب این مولکول‌ها می‌کاهد (۳۱ و ۳۲). گونه‌های فعال اکسیژن دارای نقش‌های دوگانه می‌باشند، این گونه‌ها علاوه بر آسیب به گیاه می‌توانند با القای مسیرهای سیگنال باعث فعال شدن واکنش‌های دفاعی در گیاه شده و درنتیجه باعث افزایش تولید متابولیت‌های ثانوی شوند (۳۳). در تحقیقی که توسط Wu & Lin (۳۴) انجام شد تابش امواج فراصوت بر سلول‌ها، باعث پراکسیداسیون لیپیدهای غشای داخل و خارج سلول‌ها و به دنبال آن افزایش مالون‌دی‌آلدهید شد. همچنین در جای دیگر افزایش محتوای مالون‌دی‌آلدهید و یک افزایش ۴۸/۶ درصدی در نشت الکتروولیت‌ها در سلول‌های جلبک قرمز (Cruentum porphyridium)، پس از تابش امواج فراصوت مشاهده شد (۲۷). افزایش ترکیبات آنتی‌اکسیدانتی به عنوان بخشی از پاسخ‌های دفاعی سلول‌ها محسوب می‌شود که اثر امواج فراصوت بر تولید و افزایش ترکیبات آنتی‌اکسیدانتی در تحقیقات گذشته نیز اثبات شده است (۳۳، ۳۵ و ۳۶).

ترکیبات فنلی گروه بزرگی از مواد طبیعی گیاهی شامل فلاونوئیدها، تانن‌ها و آنتوسیانین و غیره می‌باشند. این مواد منافع قابل توجهی در زمینه مواد غذایی، شیمی، داروسازی و پزشکی دارند. همچنین سلول‌ها با افزایش ترکیبات فلاونوئیدی و آنتوسیانین در شرایط استرس، از اثرات مخرب گونه‌های فعال اکسیژن می‌کاهد (۳۷). مطالعات ارتباط مثبتی بین مقدار ترکیبات آنتوسیانینی و فعالیت آنتی‌اکسیدانتی را نشان داده‌اند (۳۸). به طوری که در تحقیقات گذشته مشخص شده، بسیاری از ترکیبات فنلی به طور موثر رادیکال‌های گروه هیدروکسیل و پروکسیل را حذف کنند و از اکسید شدن چربی‌ها مانعندت به عمل آورند (۳۹). این ترکیبات آنتی‌اکسیدانت‌های نیرومندی تحت شرایط تنش می‌باشند و این خاصیت به دلیل ساختار اسکلتی و گروه فنل این متابولیت‌ها می‌باشد. گروه‌های هیدروکسیل آزاد متصل به حلقه آروماتیک به وسیله جاروبگری رادیکال‌ها و سایر مکانیسم‌ها مانند فروکشی اکسیژن یکتایی از آسیب اکسیداتیو، سلول‌ها را حفظ کرده و همچنین با جلوگیری از عمل لیپو-اکسیژنаз از اکسیداسیون لیپید جلوگیری می‌کند. سلول با استفاده از مکانیسم‌های آنزیمی و غیر آنزیمی می‌تواند غلظت گونه‌های فعال اکسیژن را کاهش دهد و از این طریق از اثرات مخرب آن بکاهد. القای تولید ترکیبات فنلی و فلاونوئیدی

همچنین امواج فراصوت به عنوان یک الیسیتور باعث تحریک ژن‌ها شده و به دنبال آن منجر به افزایش پروتئین‌ها و آنزیم‌های سیگنال‌دهی و تولید متابولیت‌های ثانوی شده، به صورتی که با تابش امواج فراصوت بر سلول‌های بنیادی گل داودی محتوای RNA افزایش یافت و در پی آن محتوای پروتئین محلول نیز افزایش یافت و بین میزان RNA و پروتئین ضریب همبستگی ۹۸ درصد وجود داشت (۲۶، ۲۵، ۳).

به علت وجود تنش‌های مکانیکی در اثر امواج فراصوت ساختمان مولکولی کلروپلاست‌ها نیز ممکن است تخریب شود، و همین عامل می‌تواند دلیل خوبی برای کاهش میزان کلروفیل باشد. همچنین کاروتونوئیدها به عنوان یکی از رنگیزه‌های کلیدی و مهم سیستم آنتی‌اکسیدانتی (۲۷) گروه بزرگی از مولکول‌های ایزوپرونوئیدی هستند که توسط اندام‌های فتوسنتری ساخته می‌شوند (۲۸) اما آن‌ها به تحریب اکسیداتیو بسیار حساس هستند، به طوری که در این آزمایش با افزایش زمان تابش امواج فراصوت تا زمان ۵ دقیقه از میزان ترکیبات کاروتونوئید به طور معنی‌داری نسبت به گروه شاهد کاسته شد. اما در زمان تابش ۱۰ دقیقه امواج فراصوت مجدداً میزان کاروتونوئید افزایش یافت و بدون داشتن تفاوت معنی‌دار با گروه شاهد هر دو گروه به یک میزان و دارای بیشترین مقدار بودند (شکل ۳) که این واقعه را می‌توان این گونه توجیه کرد که تابش امواج فراصوت در زمان بیشتر به عنوان یک تنش اکسیداتیو برای سلول به شمار می‌رود و سلول با افزایش میزان کاروتونوئید درون سلولی خود به عنوان آنتی‌اکسیدانت به مقابله با تنش می‌پردازد. برطبق نتایج بدست آمده توسط Chen و همکاران (۲۵) تابش امواج فراصوت بر سلول‌های جلبک *Porphyridium ceruentum* باعث افزایش ۲۷ درصد در میزان کاروتونوئید سلول‌ها شد (۲۵).

نتایج بدست آمده از تحقیق حاضر نشان داد که با افزایش زمان تابش امواج فراصوت، میزان مالون‌دی‌آلدهید اندازه‌گیری شده در سلول‌های جلبک *D. salina* افزایش یافت (شکل ۴). امواج فراصوت با انرژی کم در کشت سلولی تعلیقی سرخ‌دار چینی (*T. chinensis*) باعث القای پراکسیداسیون لیپید گردید (۲۹) و همچنین در تحقیقات Rezae و همکاران (۱۴) مشخص شد که امواج فراصوت به همراه متیل جاسمونات باعث افزایش در تولید مالون‌دی‌آلدهید در سلول‌های فندق شد. ایجاد گونه‌های فعال اکسیژن در استرس‌های مختلف می‌تواند باعث پراکسیداسیون لیپیدهای غشا شده که افزایش مالون‌دی‌آلدهید به عنوان محصول

ثانوی، باعث افزایش مقدار بتا-کاروتون و گلیسرول در سلول‌ها گردید. با توجه به اینکه امکان به کارگیری این تکنیک در دست-ورزی‌های بیوتکنولوژیک تولید ترکیبات سلولی بسیار راحت و ارزان است، استفاده از آن می‌تواند کمک شایانی به بالا بردن تولید ترکیبات مهم نماید که یکی از موانع مهم در مسیر تجاری سازی تولید متابولیت‌ها است.

منابع

1. Dornenburg H, Knorr D. Strategies for the improvement of secondary metabolite production in plant cell cultures. Enzyme Microb Tech . 1995; 17(8): 674–684.
2. Wu J, Lin L. Ultrasound-induced stress responses of Panax ginseng cells: enzymatic browning and phenolics production. Biotechnol Prog. 2002; 18: 862–866.
3. Wang JW, Zheng LP, Wu JY, Tan RX. Involvement of nitric oxide in oxidative burst, phenylalanine ammonia-lyase activation and taxol production induced by low-energy ultrasound in *Taxus yunnanensis* cell suspension cultures. Nitric Oxide. 2006; 15(4): 351-358.
4. Safari M, Ghanati F, Hajnoruzi A, Rezaei A, et al. Maintenance of membrane integrity and increase of taxanes production in hazel (*Corylus avellana* L.) cells induced by low-intensity ultrasound. Biotechnol Lett. 2012; 34(6): 1137-41.
5. Frizzell L.A. Biological effects of acoustic cavitation. In Suslick, KS, (eds). Ultrasound, its chemical, physical and biological effects. VCH publishers, Inc. Germany; 1988; 287–303.
6. Unger C, Thomas P, McCreery R, Sweitzer H. Ultrasound enhances gene expression of liposomal transfection. Invest Radio. 1997; 32: 723-727.
7. Barton S, Bullock C, Weir D. The effects of ultrasound on the activities of some glycosidase enzymes of industrial importance, Enzyme Microb Technol. 1996; 18: 190-194.
8. Schmidt P, Rosenfeld E, Millner R, Schellenberger A. Effects of ultrasound on the catalytic activity of matrix-bound glucoamylase. Ultrasonics. 1987; 25: 295-299.
9. Crisosto C. Optimum procedures for ripening stone fruit. Management of Ripening Fruit (Univ. of California, Davis). Postharvest Horticulture Series. 1996; 9: 28-30.
10. Garcia F, Freile-pelegrin Y, Robledo D. Physiological characterization of *Dunaliella* sp. (Chlorophyta, Volvocales) from Yucatan, Mexico. Bioresource Technol. 2007; 98(7): 1359-1365.

با توجه به افزایش میزان پراکسید هیدروژن و مالون دی‌آلدیید در سلول‌ها جهت محافظت از اجزای سلولی، اسیدهای چرب غیر اشباع، پروتئین‌ها، کربوهیدرات‌ها و اسیدهای نوکلئیک که از اهداف مهم گونه‌های فعال اکسیژن بوده و پیشگیری از اختلالات متابولیکی و سلولی می‌باشد (۴۰). در خصوص اثرات امواج فرماحت بر ترکیبات فنلی در گذشته مطالعات اندکی صورت گرفته از جمله این که امواج فرماحت باعث افزایش تولید ترکیبات فنلی در بادام زمینی شد (۴۱). Wu و همکاران (۳۴) نیز نشان دادند که فرماحت باعث افزایش تولید ترکیبات فنلی در کشت سلولی جینسینگ شد. همچنین Rezae و همکاران (۱۴) مشاهده کردند که در سلول‌های فندق قرار گرفته در معرض امواج فرماحت ترکیبات فنلی افزایش داشت.

در تحقیق حاضر با افزایش زمان تابش امواج فرماحت تا زمان ده دقیقه، میزان گلیسرول اندازه‌گیری شده سلول‌های جلبک افزایش یافت. در واقع امواج فرماحت به عنوان الیستیوری برای تحریک سلول‌ها جهت تولید گلیسرول در سلول‌های گیاهان فرماحت باعث افزایش تولید گلیسرول در سلول‌های گیاهان روغنی شده که می‌تواند برای سوختهای زیستی کاربرد داشته باشد (۴۲) و همچنین روغن‌های گیاهی را افزایش می‌دهد (۴۳). در این تحقیق مشاهده شد که با افزایش زمان تابش امواج فرماحت میزان بتا-کاروتون سلول‌ها نیز افزایش یافت. افزایش فعالیت ترکیبات آنتی‌اسیدانتی از جمله بتا-کاروتون به عنوان سریع‌ترین واحدهای مقابله کننده در برابر حمله اکسیژن‌های سریع در شرایط استرس گزارش شده است (۴۴). همانگ با یافته‌های این تحقیق، افزایش بیوسنتر متابولیت‌های ثانوی در سلول‌های گیاهی توسط امواج فرماحت با انرژی کم، گزارش شده (۱۴ و ۲۴) و مشخص شده است که این افزایش در بیوسنتر متابولیت ثانوی صرفا ناشی از اثرات فیزیکی و مکانیکی نبوده بلکه بیشتر ناشی از القای فعالیت فیزیولوژیک سلول‌ها توسط امواج فرماحت می‌باشد.

نتیجه گیری

در این تحقیق مشاهده شد که به کارگیری امواج فرماحت، باعث القای متابولیت ثانوی از جمله ترکیبات فنلی، فلاونوئیدها، آنتوسبایانین‌ها، بتا-کاروتون و گلیسرول و همچنین افزایش پتانسیل آنتی‌اسیدانتی شد. همچنین به نظر می‌رسد امواج فرماحت با تحریک سلول‌ها و القای پاسخهای دفاعی و متابولیت

11. Hosseini Tafreshi A, Shariati M. Dunaliella biotechnology: methods and applications. *J Appl Microbiol.* 2009; 107(1): 14-35.
12. Gomez PI, Barriga A, Cifuentes AS, Gonzalez MA. Effect of salinity on the quantity and quality of carotenoids accumulated by *Dunaliella salina* accumulated (strain ONC-007) and *Dunaliella bardawil* (ATCC30861) chlorophyta. *Biol Res.* 2003; 36(2): 185-192.
13. Poppel GV, Goldbohm RA. Epidemiologic evidence for beta-carotene and cancer prevention. *Am J Clin Nutr.* 1995; 62: 1393-1402.
14. Rezaei A, Ghanati F, Behmanesh M. Ultrasound potentiated salicylic acid-induced physiological effects and production of taxol in hazelnut (*Corylus avellana L.*) cell culture. *Ultrasound Med Biol.* 2011; 37(11): 1938-1947.
15. Frank G, Wegmann K. Physiology and biochemistry of glycerol biosynthesis In *Dunaliella*. *Biol Zbl.* 1979; 93: 707-723.
16. Bradford MM. A rapid and sensitive method for the quantitation of microgram quantities of protein utilizing the principle of protein-dye binding. *Anal Biochem.* 1976; 72: 248-254.
17. Djeridane A, Yousfi M, Nadjemi B, Boutassouna D, et al. Antioxidant activity of some Algerian medicinal plants extracts containing phenolic compounds. *Food Chem.* 2006; 97: 654-660.
18. Dubois M, Gilles KA, Hamilton JK, Rebers FA, et al. Colorimetric method for determination of sugars and related substances. *Anal Chem.* 1956; 28: 350-356.
19. Masukasu H, Karin O, Kyoto H. Enhancement of anthocyanin biosynthesis by sugar in radish (*Raphanus sativus*) hypocotyls. *Plant Sci.* 2003; 164(2): 259 - 265.
20. De Vos CHR, Schat H, De Waal MAD, Vooijs R, et al. Increased resistance to copper-induced damage of the root plasma membrane in copper tolerant *Silene cucubalus*. *Physiol Plant.* 1991; 82: 523-528.
21. Hadi MR, Shariati M, Afsharzadeh S. Microalgal biotechnology: carotenoid and glycerol production by the green algae *Dunaliella* isolated from the Gave-Khooni salt marsh, Iran. *Biotechnol Bioproc Eng.* 2008; 13(5): 540-544.
22. Liu YY, Yoshikoshi A, Wang BC, Sakanishi A. Influence of ultrasonic stimulation on the growth and proliferation of *Oryza sativa* Nipponbare callus cells. *Colloid Surf B: Biointerf.* 2003; 27(4): 287-293.
23. Wu J, Lin L. Enhancement of taxol production and release in *Taxus chinensis* cell cultures by ultrasound, methyl jasmonate and in situ solvent extraction. *Appl Microb Biotechnol.* 2003; 62: 151-155.
24. Joersbo M, Brunstedt J. Sonication: a new method for gene transfer to plants. *Physiol Plant.* 1992; 85: 230-234.
25. Chen B, Huang J, Wang J, Huang L. Ultrasound effects on the antioxidative defense systems of *Porphyridium cruentum*. *Colloid Surf B: Biointerf.* 2008; 16(1): 88-92.
26. Liu YY, Wang BC, Zhao HC. Alternative stress effects on the Ca²⁺ distribution in the *Chrysanthemum* callus cells. *Colloids Surf B: Biointerf.* 2001; 22(3): 245-249.
27. Wang XJ, Wang BC, Jia Y, Huo DQ, et al. Effect of sound stimulation on cell cycle of *chrysanthemum* (*Gerbera jamesonii*). *Colloids Surf B: Biointerfaces.* 2003; 29: 103-107.
28. Simkin AJ, Moreau H, Kuntz M, Pagny G, et al. An investigation of carotenoid biosynthesis in *Coffea canephora* and *Coffea arabica*. *J Plant Physiol.* 2008; 165(10): 1087-1106.
29. Wu J, Ge X. Oxidative burst, jasmonic acid biosynthesis, and taxol production induced by low-energy ultrasound in *Taxus chinensis* cell suspension cultures. *Biotechnol Bioeng.* 2004; 85(7): 714-721.
30. Wang SY. Methyl jasmonate reduces water stress in strawberry. *Plant Growth Regul.* 1999; 18(3): 127-134.
31. Plazek A, Zur I. Cold-induced plant resistance to necrotrophic pathogens and antioxidant enzyme activities and cell membrane permeability. *Plant Sci.* 2003; 164(6): 1019-1028.
32. Zhou R, Li Y, Yan L, Xie J. Effect of edible coatings on enzymes, cell-membrane integrity, and cell-wall constituents in relation to brittleness and firmness of Huanghua pears (*Pyrus pyrifolia* Nakai, cv. Huanghua) during storage. *Food Chem.* 2011; 124: 569-575.
33. Dat J, Vandebaele S, Vranova E, Van Montagu M, et al. Dual action of the active oxygen species during plant stress responses, *Cell Mol. Life Sci.* 2000; 57: 779-795.
34. Wu J, Lin L. Ultrasound-induced stress responses of *Panax ginseng* cells: enzymatic browning and phenolics production. *Biotechnol Prog.* 2002; 18: 862-866.
35. Holková I, Bezákova L, Bilka F, Balazová A, et al. Involvement of lipoxygenase in elicitor-stimulated sanguinarine accumulation in *Papaver somniferum* suspension cultures. *Plant Physiol Biochem.* 2010; 48: 887-892.

36. Komaraiah P, Kishor PBK, Carlsson M, Magnusson KE, et al. Enhancement of anthraquinone accumulation in *Morinda citrifolia* suspension cultures. *Plant Sci.* 2005; 168: 1337–1344.
37. Plazek A, Zur I. Cold-induced plant resistance to necrotrophic pathogens and antioxidant enzyme activities and cell membrane permeability. *Plant Sci.* 2003; 164(6): 1019-1028.
38. Cai Y, Luo Q, Sun M, Corke H. Antioxidant activity and phenolic compounds of 112 traditional Chinese medicinal plants associated with anticancer. *Life Sci.* 2004; 74(17): 2157–2184.
39. Boscaiu M, Sanchez M, Bautista I, Donat P, et al. Phenolic compounds as stress markers in plants from gypsum habitats. *Bull UASVM Hort.* 2010; 67: 44-49.
40. Martinez-Cayuela M. Oxygen free radicals and human disease. *Biochimie.* 1995; 77: 147–161.
41. Sales JM, Resurreccion AVA. Phenolic profile, antioxidants, and sensory acceptance of bioactive-enhanced peanuts using ultrasound and UV. *Food Chem.* 2010; 122: 795–803.
42. Fukuda H, Hama S, Tamalampudi S, Noda H. Whole-cell biocatalysts for biodiesel fuel production. *Trends Biotechnol.* 2008; 26(12): 668–673.
43. Siatis NG, Kimbaris AC, Pappas CS, Tarantilis PA, et al. Improvement of biodiesel production based on the application of ultrasound: monitoring of the procedure by FTIR spectroscopy. *JAACS.* 2006; 83: 53-57.
44. Kasperczyk S, Dobrakowski M, Kasperczyk J, Ostalowska A, et al. Beta-carotene reduces oxidative stress, improves glutathione metabolism and modifies antioxidant defense systems in lead-exposed workers. *Toxicol Appl Pharm.* 2014; 1: 36-41.

Increased Production of Beta-Carotene and Glycerol in *Dunaliella salina* Cell Culture by Ultrasound

Mokhberi R, M.Sc.¹, Rezaei A, Ph.D.^{2*}, Kordenaeej A, Ph.D.²

1. Department of Agricultural Biotechnology, Faculty of Agriculture, Payame-Noor University, Tehran, Iran
2. Department of Agricultural Biotechnology, Faculty of Agriculture, Shahed University, Tehran, Iran

* Email corresponding author: arezaei@shahed.ac.ir

Received: 3 Feb. 2015

Accepted: 19 May. 2015

Abstract

Aim: The purpose of this study was to investigate the effect of ultrasound on growth and some physiological parameters in cultures of unicellular alga *Dunaliella salina*.

Material and Methods: Ultrasound waves were applied with a frequency of 40 kHz, and 5W/Cm³ power, at the fourteenth day of subculture in a completely randomized design with 3 replications. Ultrasound exposure times to cells were 0, 2.5, 5 and 10 minutes. The parameters measured were: cell growth, total protein content, photosynthetic pigments, antioxidant potential, membrane lipid peroxidation, amount of phenolic compounds, flavonoids, anthocyanins, soluble sugars, beta-carotene and glycerol.

Results: The results showed, due to increase of ultrasound irradiation time, cell growth and photosynthetic pigments were decreased. In contrast, total protein content, antioxidant potential, membrane lipid peroxidation, phenolic compounds, flavonoids, anthocyanins, beta-carotene and glycerol were increased. Maximum amount of beta-carotene (12.3 mg/l) and glycerol (13.5 mg/l) as the main metabolites were obtained at 10 minutes treatment.

Conclusion: It seems that ultrasound waves increased beta-carotene, and glycerol production of the cell by induction of defensive responses and secondary metabolism.

Keywords: *Dunaliella salina*, Cell culture, Ultrasound, Beta-carotene, Glycerol